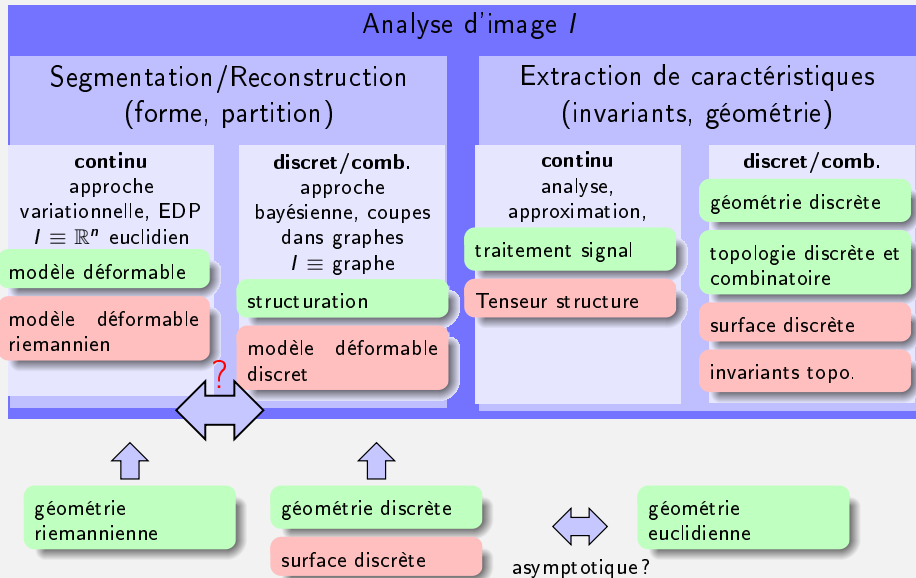


# Espaces non-euclidiens et analyse d'image : modèles déformables riemanniens et discrets, topologie et géométrie discrète

Jacques-Olivier Lachaud<sup>1</sup>

<sup>1</sup>LaBRI - Université Bordeaux 1

soutenance d'HdR - 6 décembre 2006



- 1 Contexte et motivations : modèles déformables
- 2 Modèle déformable en géométrie riemannienne
- 3 Modèle déformable en géométrie discrète
- 4 Surfaces discrètes : représentation, géométrie, topologie
- 5 Géométrie discrète asymptotique

- 1 Contexte et motivations : modèles déformables
- 2 Modèle déformable en géométrie riemannienne
- 3 Modèle déformable en géométrie discrète
- 4 Surfaces discrètes : représentation, géométrie, topologie
- 5 Géométrie discrète asymptotique

# Segmentation d'image par modèles déformables

- recherche d'une composante significative dans une image  $I$
  - approche basée contours, sans *a priori* sur la forme finale
- ⇒ problème assez difficile

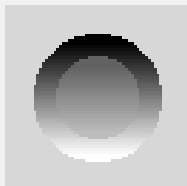
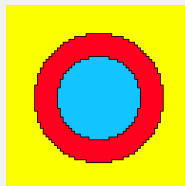


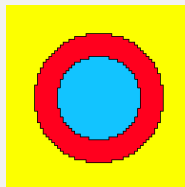
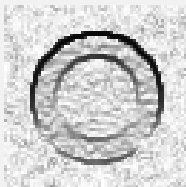
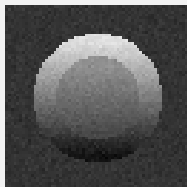
Image  $I$



gradient  $|\nabla I|$

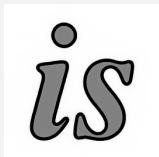
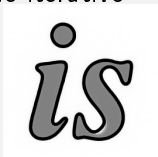
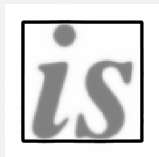


segmentation idéale



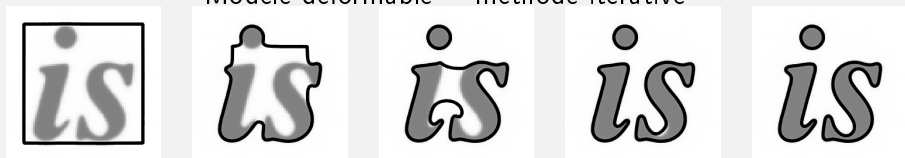
# Segmentation d'image par modèles déformables

Modèle déformable = méthode itérative



# Segmentation d'image par modèles déformables

Modèle déformable = méthode itérative



## Modèle déformable

Approche variationnelle

= Famille de formes + critère(forme,  $I$ ) + optimisation

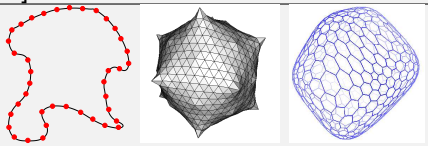
## Critère

balance adéquation avec l'image et régularité de la forme

critère(forme,  $I$ ) = adéquation(forme,  $I$ ) + régularité(forme)

Applications en vision, imagerie médicale, vidéo, synthèse d'image, ...

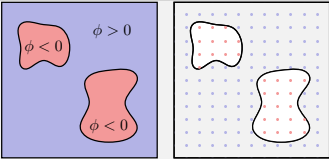
# Modèles déformables : approches classiques

catégorie	Explicite (snakes, etc.)
Formes (2D)	courbe/surface paramétrée et/ou échantillonnée $C : [0, 1] \rightarrow \mathbb{R}^2$
Exemple	
Critère	$\int_C \underbrace{\alpha  C'(s) ^2 + \beta  C''(s) ^2}_{\text{régularisation}} + \underbrace{P(I, C(s))}_{\text{adéquation}} ds$
Optimisation	$\gamma C_t = \underbrace{-2\alpha C'' + 2\beta C^{(4)}}_{\text{régularisation}} - \nabla P$

[Kass et. al. 87, Terzopoulos et. al. 88, Cohen 91, ...]



# Modèles déformables : approches classiques

catégorie	<b>Implicite</b> (level-sets)
Formes (2D)	courbe/surface implicite échantillonnée $\Phi : \mathbb{R}^2 \rightarrow \mathbb{R}, S = \{\Phi = 0\}$
Exemple	
Critère	(contour actif géodésique) $\int_S \underbrace{g(l, S)}_{\text{régularisation}} ds$ <small>adéquation</small>
Optimisation	$\Phi_t = g(l, \cdot) (c_0 + \underbrace{\kappa}_{\text{régularisation}})  \nabla \Phi  + \nabla g \cdot \nabla \Phi$

[Caselles *et. al.* 93, Malladi *et. al.* 94, Caselles *et. al.* 97, Yezzi 97, ...]

# Modèles déformables : complexité

Image  $I$ , de taille  $N^d$ . Forme  $C$  d'aire  $|C|$ . Pas  $h$ .  $P = \frac{|C|}{h^{d-1}}$ .

catégorie	explicite (snakes, etc.)	implicite (level-sets)
nb de variables	$P \approx \Theta(N^{d-1})$	$N^d$
déplacement	$P$	$N^d$ [Osher Sethian88] $K_1 P$ [Adalsteinson95] $K_2 P \log P$ [Strain99]
changement de topologie	$N^d$ (T-snake, [McIT95,97]) $P$ (2D, maille simplexe [DM99]) $P \log P$ (2-3D $\delta$ -snake [LM99]) $P \log P$ (2-4D simpliciale [BLS03])	naturel
En résumé	au mieux $\Theta(N^{d-1})$	au mieux $\Theta(N^{d-1})$

# Première problématique : complexité en temps

complexité / itération : fct nb de variables  
× nb d'itérations : fct init., vitesse déplacement  
= complexité segmentation

Comment rendre cette complexité plus indépendante de celle de l'image ?

- meilleure initialisation (spécifique à l'application)
- approche multirésolution [Elomary 94,Ronfard 94,...]
- adaptabilité locale [Delingette 94,Bredno *et. al.* 03,...]
- augmentation pas d'intégration [Weickert *et. al.* 03,...]
- amélioration des forces [Xu Prince 98,...]

**Conclusion** : nb de variables  $\propto$  résolution de  $I$ , déplacement max  $< \frac{h}{2}$   
 $\Rightarrow$  complexité très dépendante de la résolution de  $I$

## Deuxième problématique : minimum local $\neq$ optimum

évolution EDP  $\Rightarrow$  extraction d'un minimum **local**

Comment espérer trouver l'optimum dans l'espace des formes ?

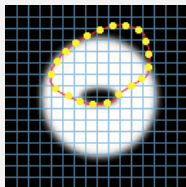
- initialisation (spécifique à l'application)
- « convexification » fonctionnelle [Zhu Yuille 96, Jehan-Besson *et. al.* 03, ...]
- optimum dans des cas particuliers [Cohen Kimmel 97, Deschamps Cohen 01, Ardon Cohen 05]
- discrétisation partielle + programmation dynamique [Amini *et. al.* 90, Tagare 97, Gunn 97, ...]
- méthodes combinatoires de segmentation : qqs résultats d'**optimalité**

**Conclusion** : version combinatoire des modèles déformables ?

# Démarche : changement de la géométrie

Indépendance  
complexité et  
résolution ?

Géométrie  
riemannienne



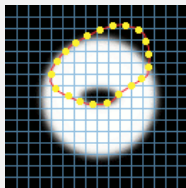
Géométrie  
euclidienne

Analogie combina-  
toire des modèles dé-  
formables ?

Géométrie  
discrète

# Démarche : changement de la géométrie

Indépendance  
complexité et  
résolution ?



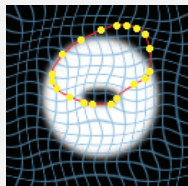
Analogie combina-  
toire des modèles dé-  
formables ?

Géométrie  
discrète

Géométrie  
riemannienne



Géométrie  
euclidienne

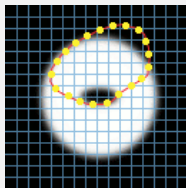


Géométrie riemannienne

Déformer l'espace pour densité adaptée à l'information image.

# Démarche : changement de la géométrie

Indépendance  
complexité et  
résolution ?



Analogie combina-  
toire des modèles dé-  
formables ?

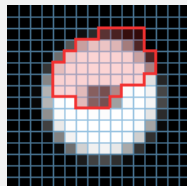
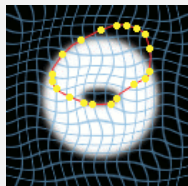
Géométrie  
riemannienne



Géométrie  
euclidienne



Géométrie  
**discrète**



## Géométrie discrète

Estimateurs géométriques discrets pour approcher formulation variationnelle.

- 1 Contexte et motivations : modèles déformables
- 2 Modèle déformable en géométrie riemannienne**
- 3 Modèle déformable en géométrie discrète
- 4 Surfaces discrètes : représentation, géométrie, topologie
- 5 Géométrie discrète asymptotique



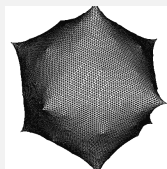
# Modèle déformable riemannien : principe

## Problématique

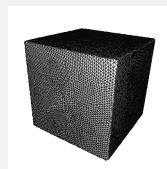
Réduire le nombre de variables, diminuer le nombre d'itérations.

## Idée directrice

- concentrer l'effort de calcul au voisinage des zones d'intérêt
- adapter la densité des variables selon la position dans l'image
- utiliser la géométrie riemannienne, qui peut déformer l'espace



(euclidien)  
itérations ...



densité de variables **uniforme** dans l'espace **euclidien**

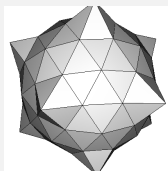
# Modèle déformable riemannien : principe

## Problématique

Réduire le nombre de variables, diminuer le nombre d'itérations.

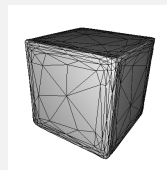
## Idée directrice

- concentrer l'effort de calcul au voisinage des zones d'intérêt
- adapter la densité des variables selon la position dans l'image
- utiliser la géométrie riemannienne, qui peut déformer l'espace



(riemannien)

itérations ...

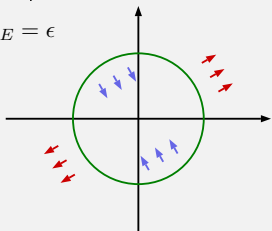


densité de variables **uniforme** dans l'espace **riemannien**  
**adaptative** dans l'espace **euclidien**

# Géométrie riemannienne : déformer l'espace

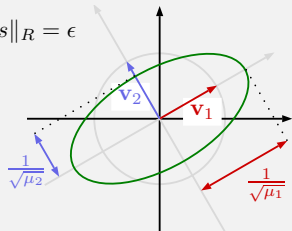
Norme/produit scalaire variable en tout point de l'espace  $\mathbb{R}^n$

$$\|ds\|_E = \epsilon$$



euclidien

$$\|ds\|_R = \epsilon$$



riemannien au point  $\mathbf{x}$

$$ds^2 = (dx^1 \dots dx^n) \times^T (dx^1 \dots dx^n) \quad (dx^1 \dots dx^n) \times G(\mathbf{x}) \times^T (dx^1 \dots dx^n)$$

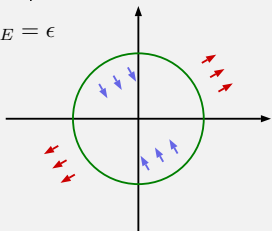
où la matrice  $G$ , symétrique, définie positive, dépend de l'origine  $\mathbf{x}$  du déplacement, de valeurs/vecteurs propres  $(\mu_i, \mathbf{v}_i)$ .

- application  $\mathbf{x} \mapsto G(\mathbf{x})$  appelée **métrique**
- longueur chemin  $\gamma : L_R(\gamma) = \int_{t_0}^{t_1} \sqrt{\gamma'(t) \times G(\gamma(t)) \times \gamma'(t)} dt$
- distance de  $u$  à  $v$   $d_R(u, v)$  : plus court chemin riemannien

# Géométrie riemannienne : déformer l'espace

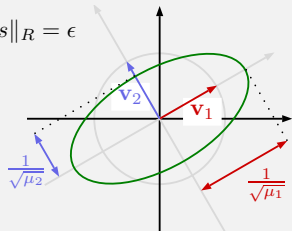
Norme/produit scalaire variable en tout point de l'espace  $\mathbb{R}^n$

$$\|ds\|_E = \epsilon$$



euclidien

$$\|ds\|_R = \epsilon$$



riemannien au point  $\mathbf{x}$

$$d\mathbf{s}^2 = (dx^1 \dots dx^n) \times {}^T(dx^1 \dots dx^n) \quad (dx^1 \dots dx^n) \times G(\mathbf{x}) \times {}^T(dx^1 \dots dx^n)$$

où la matrice  $G$ , symétrique, définie positive, dépend de l'origine  $\mathbf{x}$  du déplacement, de valeurs/vecteurs propres ( $\mu_i, \mathbf{v}_i$ ).

## Définition de la métrique $G$

En tout point de l'image, choix de

- $n$  directions orthogonales  $\mathbf{v}_1, \dots, \mathbf{v}_n$
- $n$  coefficients de dilatation  $\mu_1, \dots, \mu_n$

# MD sensible à une métrique



- Modèle déformable initial [Lachaud Montanvert 99]



- Adaptation de topologie basée *distance euclidienne*  $d_E$

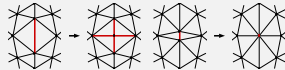
sommets

contrainte

si non-satisfaite

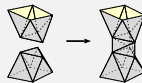
$(u, v)$  voisins

$$\delta \leq d_E(u, v) \leq \zeta \delta$$



$(u, v)$  non-voisins

$$\lambda \zeta \delta \leq d_E(u, v)$$



Substitution de  $d_E$  par une mesure riemannienne  $d_R$

- ▶ **sur-estimer** distances autour des zones d'intérêt  $\Rightarrow$  densité **plus grande**
- ▶ **sous-estimer** distances partout ailleurs  $\Rightarrow$  densité **plus faible**

# Métrie riemannienne adaptée à l'image



- Construction *automatique* de la métrique
- Approche contour : structures pertinentes autour contours forts

**contour** en  $x$

intensité  $s$

courbures  $\kappa_1, \kappa_2$

directions  $\mathbf{n}, \mathbf{t}_1, \mathbf{t}_2$



**métrique** en  $x$

$$\mu_1 \propto s^2$$

$$\mu_2 \propto \kappa_1^2 \mu_1$$

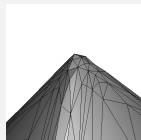
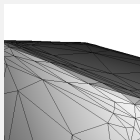
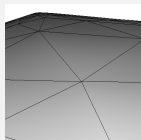
$$\mu_3 \propto \kappa_2^2 \mu_1$$

$$\mathbf{v}_1 = \mathbf{n}$$

$$\mathbf{v}_2 = \mathbf{t}_1$$

$$\mathbf{v}_3 = \mathbf{t}_2$$

$G(x)$



faible densité

# Estimation de la géométrie de l'image



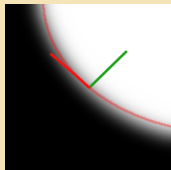
$\forall \mathbf{x}$ , calculer gradient  $\mathbf{sn}$  et courbures  $\kappa_1 \mathbf{t}_1$  et  $\kappa_2 \mathbf{t}_2$  de l'isophote passant par  $\mathbf{x}$  sur l'image  $I$ .

- classiquement filtres dérivatifs [Monga et. al. 95, Rieger et. al. 02]
- diagonalisation** tenseur de structure [Kass Witkin 87]  
 $Q_{\rho, \sigma} : \mathbf{v} \mapsto \mathbf{g}_\rho * (\mathbf{v} \cdot \nabla (\mathbf{g}_\sigma * I))^2$  vecteurs / valeurs propres  
 $Q_{\rho, \sigma} : \mathbf{v} \mapsto {}^T \mathbf{v} \times J_{\rho, \sigma} \times \mathbf{v}$   $(\mathbf{w}_1, \mathbf{w}_2, \mathbf{w}_3) / (\xi_1, \xi_2, \xi_3)$

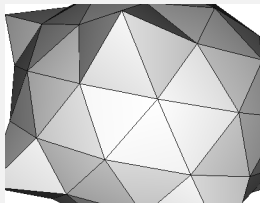
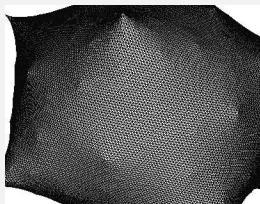
## Theorem (Courbures par diagonalisation)

contour **idéal** de tenseur  $J_{\rho, \sigma}$  alors

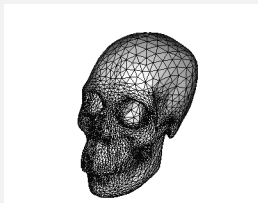
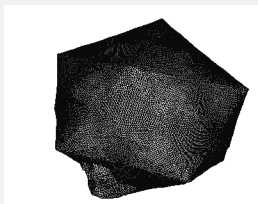
- directions principales  $(\mathbf{n}, \mathbf{t}_1, \mathbf{t}_2) =$  vecteurs propres
- intensité  $s$ , courbures principales  $\kappa_1$  et  $\kappa_2$   
 $\xi_1 = s^2$      $\xi_2 = \rho^2 s^2 \kappa_1^2$      $\xi_3 = \rho^2 s^2 \kappa_2^2$



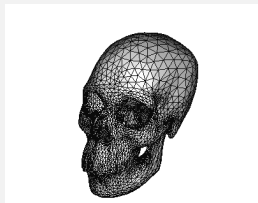
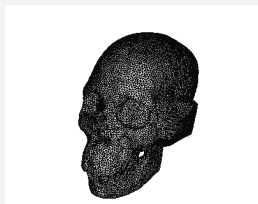
Réduction du nombre de sommets et du nombre d'itérations



Initialisation



Itération 100

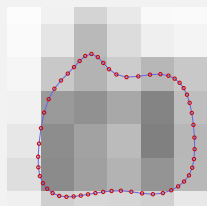


Itération 200

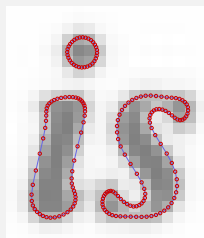


# Influence de la résolution

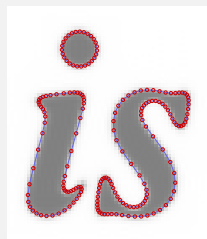
- Même image, échantillonnée à des fréquences croissantes.



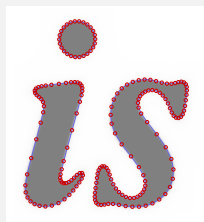
10 × 10



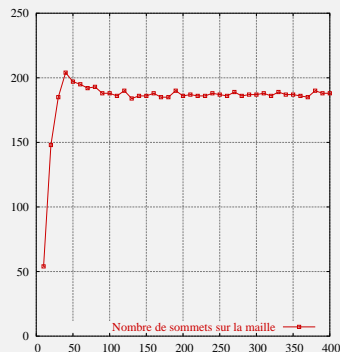
30 × 30



100 × 100



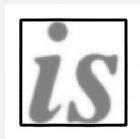
400 × 400



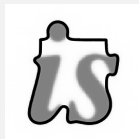
NbSommets(résolution)

# Comparaison avec l'approche multi-résolution

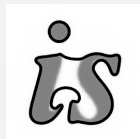
- approche classique (densité uniforme, résolution fine) : 10,14s, 458 sommets



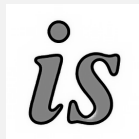
it. 100



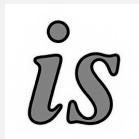
it. 200



it. 300



it. 400



it. 900

- approche multi-résolution (densité uniforme, résolution progressive) : 9,23s, 392 sommets
- approche riemannienne (densité adaptative) : 1,73s, 150 sommets

# Comparaison avec l'approche multi-résolution

- approche classique (densité uniforme, résolution fine) : 10,14s, 458 sommets
- approche multi-résolution (densité uniforme, résolution progressive) : 9,23s, 392 sommets



8 × 8

it. 310

0,08s



16 × 16

it. +810

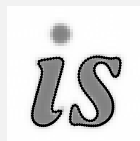
0,40s



32 × 32

it. +760

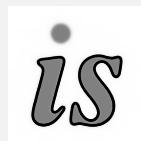
0,87s



64 × 64

it. +1020

3,10s



128 × 128

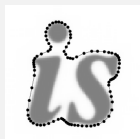
it. +510

4,78s

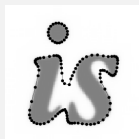
- approche riemannienne (densité adaptative) : 1,73s, 150 sommets

# Comparaison avec l'approche multi-résolution

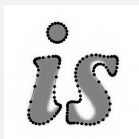
- approche classique (densité uniforme, résolution fine) : 10,14s, 458 sommets
- approche multi-résolution (densité uniforme, résolution progressive) : 9,23s, 392 sommets
- approche riemannienne (densité adaptative) : 1,73s, 150 sommets



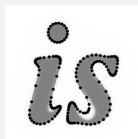
it. 25



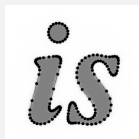
it. 50



it. 75

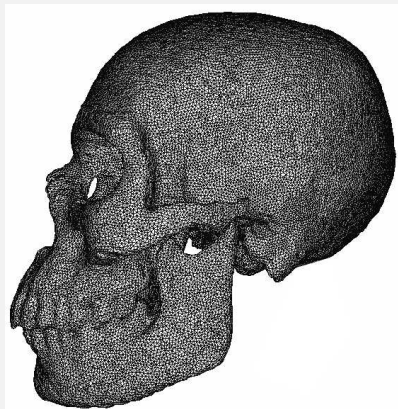


it. 100

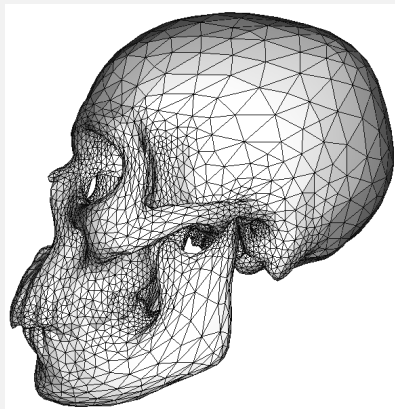


it. 280

# Evaluation sur scanner



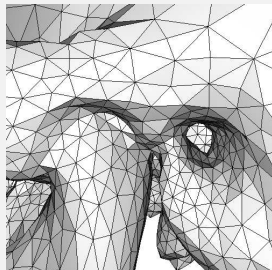
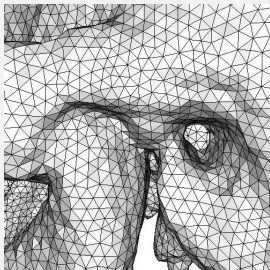
Uniforme fin



Adaptatif



Vue inférieure de la  
mâchoire



Vue latérale de l'oreille

	Uniforme	Adaptatif
Sommets	142.340	15.936
Itérations	900	500
Temps de calcul	3h22min	22min (+3min 49s)

# Discussion

- modèle hautement déformable à densité adaptative :  $\approx 10\times$  moins de sommets,  $\approx 5\times$  moins d'itérations, entre 3 à 10 fois + rapide
- complexité dépendante de la **géométrie** de l'image
- nouvel estimateur de courbure(s) image : robuste, précis, comparativement rapide

Thèse de Benjamin Taton [2004]

[Computer Vision Image Understanding 2005]

[ECCV02,3DIM03,ICPR04]

- 1 Contexte et motivations : modèles déformables
- 2 Modèle déformable en géométrie riemannienne
- 3 Modèle déformable en géométrie discrète**
- 4 Surfaces discrètes : représentation, géométrie, topologie
- 5 Géométrie discrète asymptotique



# Approches combinatoires de la segmentation

## segmentation de l'image $I$ par minimisation

- segmentation = étiquetage  $f$  en  $N$  classes
- partitions  $f$  (nb fini) + critère(partition,  $I$ )  
+ optimisation



$I$



$N = 2$



$N > 2$

# Approches combinatoires de la segmentation

## segmentation de l'image $I$ par minimisation

- segmentation = étiquetage  $f$  en  $N$  classes
- partitions  $f$  (nb fini) + critère(partition,  $I$ ) + optimisation



$I$

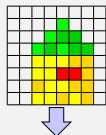


$N = 2$

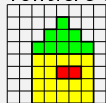


$N > 2$

- minimisation d'énergie sur un graphe ( $V, W$ )  
optimum à  $t = +\infty$  [Geman 87], optimum pour  $N = 2$  [Greig et. al. 89],  $2 \times$  optimum [Boykov et. al. 01]
- discrétisation d'approx. par morceaux [Mumford Shah 89]  
optimum sur pyramide causale [Guigues et. al. 03]
- division-fusion, pyramides adaptatives, ligne de partage des eaux, variantes discrètes des modèles déformables,  
...



Frontière  $\Gamma$



# Approches combinatoires de la segmentation

## segmentation de l'image $I$ par minimisation

- segmentation = étiquetage  $f$  en  $N$  classes
- partitions  $f$  (nb fini) + critère(partition,  $I$ )  
+ optimisation



$I$



$N = 2$



$N > 2$

## Approches combinatoires / variationnelles : optimalité

Plusieurs algorithmes intéressants vis-à-vis optimalité

# Approches combinatoires de la segmentation

## segmentation de l'image $I$ par minimisation

- segmentation = étiquetage  $f$  en  $N$  classes
- partitions  $f$  (nb fini) + critère(partition,  $I$ ) + optimisation



$I$

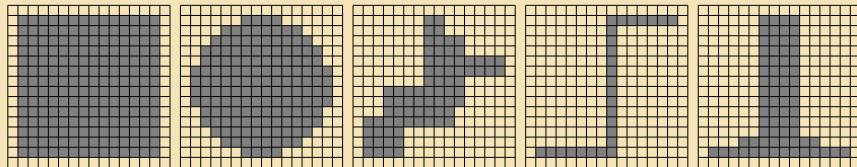


$N = 2$



$N > 2$

## Approches combinatoires / variationnelles : régularisation



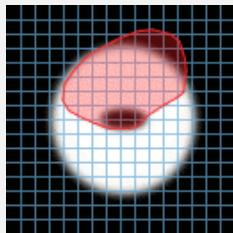
Régularisation simpliste : valeur du critère **identique** sur toutes ces formes

Analogie combinatoire des modèles déformables avec meilleure régularisation ?

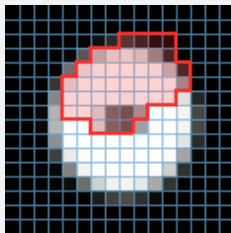
# Processus de discrétisation Dig

Discrétisation de Gauss  $\text{Dig}_G : X \mapsto X \cap (\mathbb{Z} \times \mathbb{Z})$

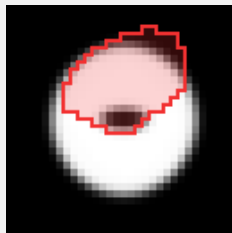
Discrétisation de Gauss de pas  $h$   $\text{Dig}_G : X, h \mapsto X \cap (h\mathbb{Z} \times h\mathbb{Z})$



$X$   
 $E(X)$



$O_h = \text{Dig}_G(X, h)$   
 $E(O_h)$



$O_{\frac{h}{2}} = \text{Dig}_G(X, \frac{h}{2})$   
 $E(O_{\frac{h}{2}})$

...  
...  
...

Modèle déformable discret *asymptotiquement euclidien*

Peut-on garantir que l'énergie discrète tende vers l'énergie continue lorsque le pas de grille  $h$  tend vers 0 ?

# Modèle déformable discret

- Energie d'un modèle déformable type *snake*

courbe param.  $C$       $E(C) = \int_C \alpha |C'(u)|^2 + \beta |C''(u)|^2 + P(l, C(u)) du$

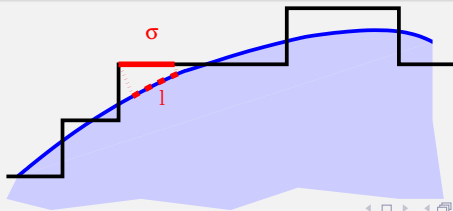
sous-ensemble  $X \subset \mathbb{R}^2$       $E(X) = \int_{\text{bd } X} \alpha + \beta \kappa^2(s) + P(l, s) ds$

## Modèle déformable discret 2D

Famille de formes  $\mathcal{O} = \mathcal{P}(\mathbb{Z}^2)$

Forme discrète  $O \in \mathcal{O}$  :  $E(O) = \sum_{\sigma \in \partial O} (\alpha + \beta \hat{\kappa}^2(\sigma) + P(l, \sigma)) \hat{l}(\sigma)$

- $\hat{l}(\sigma)$  : longueur élémentaire estimée
- $\hat{\kappa}(\sigma)$  : courbure estimée



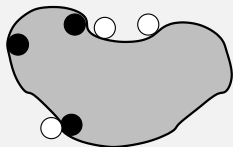
# Projection et rétro-projection

- Application continue entre  $\text{bd } X$  et  $\text{bd } \text{Dig}_G(X, h)$ ?

Lemma (extension à  $\text{Dig}_G$  de [Latecki *et. al.* 98])

Si  $X$  est  $\text{par}(r)$ -régulier,  $\exists$  homéomorphisme pour  
 $h < \frac{\sqrt{10}}{5} r$

- projection de  $\text{bd } X$  sur  $\text{bd } \text{Dig}_G(X, h)$  ?
- rétro-projection  $\pi$  de  $\text{bd } \text{Dig}_G(X, h)$  sur  $\text{bd } X$  : continue, surjective



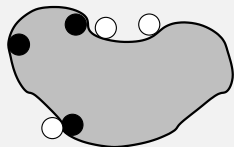
non

# Projection et rétro-projection

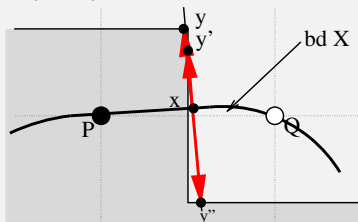
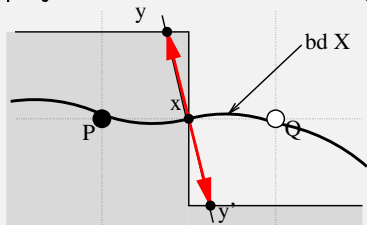
- Application continue entre  $\text{bd } X$  et  $\text{bd } \text{Dig}_G(X, h)$ ?

Lemma (extension à  $\text{Dig}_G$  de [Latecki et. al. 98])

Si  $X$  est  $\text{par}(r)$ -régulier,  $\exists$  homéomorphisme pour  $h < \frac{\sqrt{10}}{5}r$



- projection de  $\text{bd } X$  sur  $\text{bd } \text{Dig}_G(X, h)$ ?



non

- rétro-projection  $\pi$  de  $\text{bd } \text{Dig}_G(X, h)$  sur  $\text{bd } X$  : continue, surjective

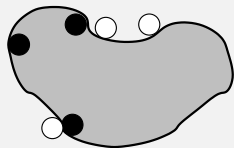


# Projection et rétro-projection

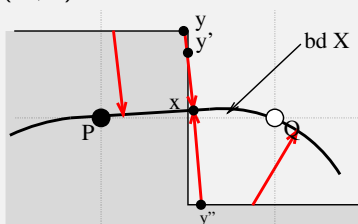
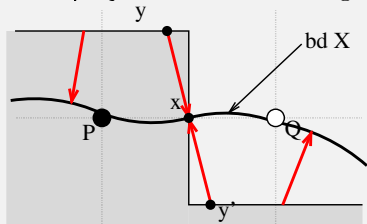
- Application continue entre  $\text{bd } X$  et  $\text{bd Dig}_G(X, h)$ ?

Lemma (extension à  $\text{Dig}_G$  de [Latecki et. al. 98])

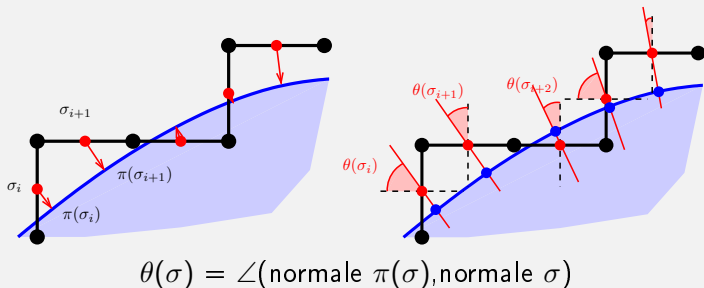
Si  $X$  est  $\text{par}(r)$ -régulier,  $\exists$  homéomorphisme pour  $h < \frac{\sqrt{10}}{5}r$



- projection de  $\text{bd } X$  sur  $\text{bd Dig}_G(X, h)$  non
- rétro-projection  $\pi$  de  $\text{bd Dig}_G(X, h)$  sur  $\text{bd } X$  : continue, surjective



# Modèle déformable discret asymptotiquement euclidien



## Theorem

Le MD d'énergie  $E(O) = \sum_{\sigma \in \partial O} (\alpha + \beta \hat{\kappa}^2(\sigma) + P(l, \sigma)) \hat{l}(\sigma)$  est asymptotiquement euclidien ssi

- 1 longueur élémentaire  $\hat{l}(\sigma)/h$  tend vers  $|\cos(\theta(\sigma))|$
- 2 courbure  $\hat{\kappa}(\sigma)$  tend vers  $\kappa(\pi(\sigma))$

# Convergence des quantités estimées $\hat{\lambda}$ et $\hat{\kappa}$ ?

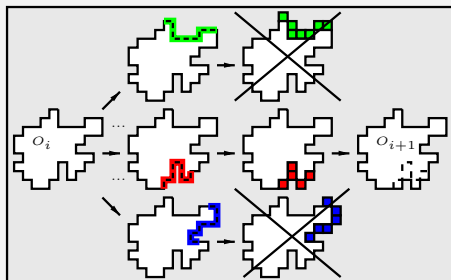
Peut-on construire un modèle déformable asymptotiquement euclidien ?

- convergence longueur élémentaire  $\Leftrightarrow$  convergence estimateur de tangente
- $\hat{\lambda}$  : tangente symétrique  $\hat{\theta}^{ST}$
- $\hat{\kappa}$  : courbure par cercle circonscrit aux demi-tangentes  $\hat{\kappa}^{CC}$
- estimateurs admis convergents dans un premier temps [Coeurjolly02]
- validation expérimentale

# Validation expérimentale I

## Test du MD discret à échelle fixée

- Algorithme de minimisation *a posteriori* (bulle déformable [Elomary Chassery 94])
  - 1 expansion progressive dans la direction d'énergie minimale

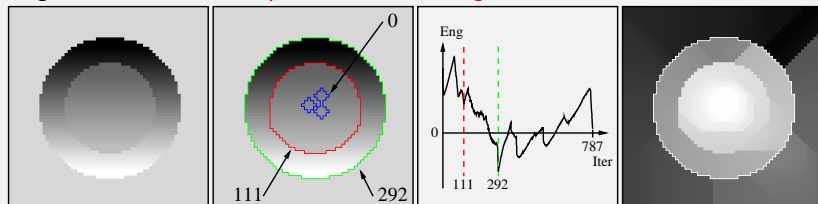


- 2 à la fin, extraction de la position intermédiaire optimale.

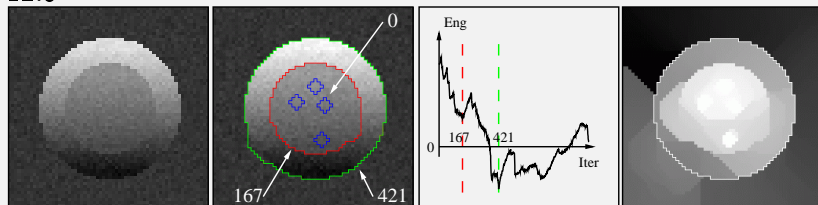
# Validation expérimentale II

Test du MD discret à échelle fixée

## 1. Segmentation de **composantes inhomogènes** : $\alpha = 0.5$



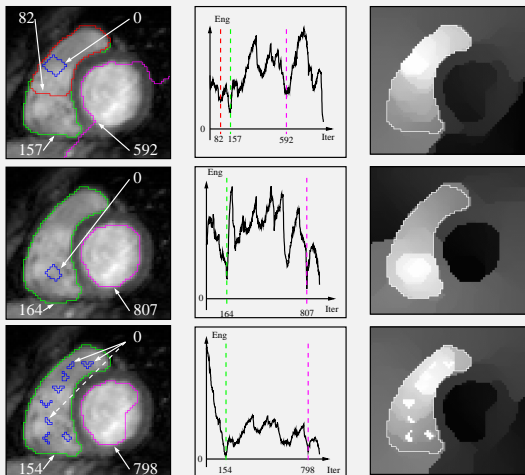
## 2. Robustesse au **bruit Gaussien** : $\alpha = 0.5$ , bruit Gaussien d'écart-type 12.8



# Validation expérimentale III

## Test du MD discret à échelle fixée

### 3. Robustesse à l'initialisation (IRM cœur diastole)



# Synthèse et problématiques induites

- discrétisation valide d'un modèle déformable géométrique
- extension  $nD$  naturelle
- approximation d'intégrales curvilignes sur des contours discrets

Représentation efficace des surfaces discrètes de  $\mathbb{Z}^n$  et calcul rapide d'estimations géométriques ?

Convergence d'estimateurs géométriques discrets de quantités géométriques locales ? Vitesse de convergence ?

collaboration avec Anne Vialard  
projet Jeunes chercheurs GdR-ISIS avec David Cœurjolly et Laure Tougne (LIRIS)

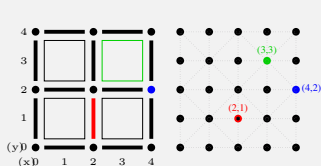
[IWVF01],[HdR06]

- 1 Contexte et motivations : modèles déformables
- 2 Modèle déformable en géométrie riemannienne
- 3 Modèle déformable en géométrie discrète
- 4 Surfaces discrètes : représentation, géométrie, topologie**
- 5 Géométrie discrète asymptotique

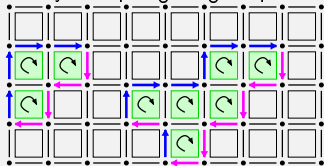


# Surface discrètes $nD$ : représentation, suivi, codage

- grille cellulaire  $\mathbb{C}^n$  : identification avec Khalimsky + topologie algébrique

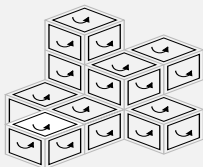


cellule =  $n$  coord. entières

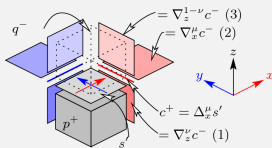


$$(\text{bord}) \Delta \sum(\text{voxels}^+) = \begin{matrix} (\sum \text{surfels}^+) \\ + (\sum \text{surfels}^-) \end{matrix}$$

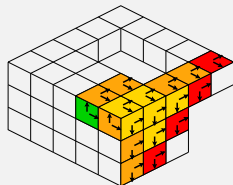
- voisinage, suivi de surface  $nD$



surface =  $\Delta \text{Volume}$



(co-bord  $\nabla$ )



$\Delta \Delta = 0$

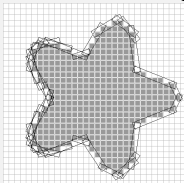
- codage : 1 cellule = 1 entier, opérateurs =  $\{ |, \&\&, !, \ll, \gg \}^*$   
 $\Rightarrow$  Implémentation générique  $nD$ , très efficace, compacte

# Géométrie des courbes 2D et surfaces discrètes $nD$

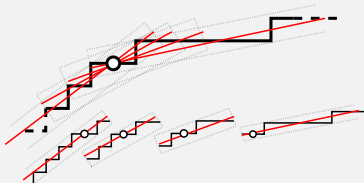
- estimateurs géométriques discrets basés segments de droites discrètes



forme de  $\mathbb{R}^2$



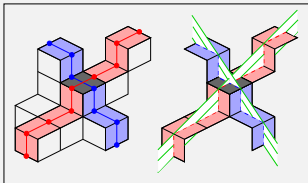
segments maximaux



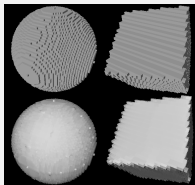
tangente  $\hat{\theta} = \text{comb. convexe directions}$

**Propriétés** : précis, convexité respectée, isotrope, convergent, calcul en temps **optimal**

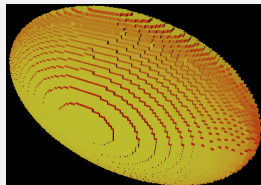
- estimateurs  $nD$  par croisement de géométries 2D



$n - 1$  chemins par surfel



normale  $\hat{n}$  orth. aux  $(\hat{\theta}_i)$



Aire =  $\sum_{\sigma} |\hat{n} \cdot \mathbf{e}_{\perp\sigma}|$

Collaboration avec Anne Vialard, thèse de François de Vieilleville  
[DGCI03,DGCI05], [Image and Vision Computing 2006]

# Topologie des surfaces combinatoires $nD$

- Surfaces  $nD$ ? : modèles combinatoires de subdivision de variétés
- résultats d'équivalences de modèles topologiques

## $n$ -G-cartes [Lienhardt94]

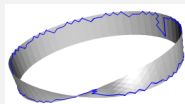
- ▶  $n + 1$  involutions sur des brins
- ▶ + simpliciales, connexes, fermées



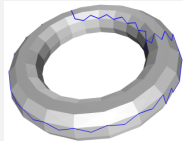
## $n$ -surfaces [Bertrand99]

- ▶ ordre partiel
- ▶ décomposition récursive

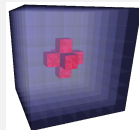
- calcul d'invariants topologiques sur les complexes cellulaires ( $\Delta\Delta = 0$ )  
groupes d'homologie par mise en forme de Smith/Agoston [Agoston76]



Bande de Möbius



Tore



Cube avec cavité



thèse de Sylvie Alyrangues [2005]

Collaboration avec Pascal Lienhardt (SIC), Xavier Daragon (ESIEE),

Laurent Fuchs (SIC) et Samuel Peltier (SIC/PRIP)

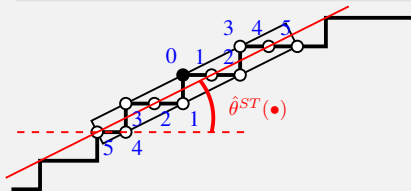
[CVWW02,IWCIA04,DGCI05], [Computers & Graphics 2006]

- 1 Contexte et motivations : modèles déformables
- 2 Modèle déformable en géométrie riemannienne
- 3 Modèle déformable en géométrie discrète
- 4 Surfaces discrètes : représentation, géométrie, topologie
- 5 Géométrie discrète asymptotique**

# Estimateurs géométriques discrets et conv. multigrille

## Definition (Estimateur géométrique discret)

Cherche à estimer une quantité géométrique de  $X$  à partir de sa seule discrétisation.



## tangente symétrique (ST)

direction du plus long segment de droite discrète symétrique autour du point •

## Convergence estimateur géométrique [Serra 82]

Soit une famille de formes  $F$ . L'estimateur géométrique  $\hat{\epsilon}$  est **multigrille-convergent** pour  $F$  vers la mesure géométrique  $\epsilon$  ssi

$$\forall X \in F, \lim_{h \rightarrow 0} |\hat{\epsilon}(\text{Dig}_G(X, h)) - \epsilon(X)| = 0$$

# Résultats connus de convergence multigrille

Quantité	Forme de $\mathbb{R}^2$	technique	B. sup erreur	Ref
aire	C3-convexes	comptage	$O(h^{\frac{15}{11}+\epsilon})$	[Huxley90]
moments	C3-convexes	comptage	$O(h^{\frac{15}{11}+\epsilon})$	[Klette, Žunić00]
longueur	poly. conv.	polygonalisation	$\approx 4.5h$	[Kovalevsky, Fuchs92]
longueur	poly. conv.	“saucisonnage”	$\approx 5.844h$	[Klette et. al. 98]
longueur	C3-convexes	“Grid continuum”	$\approx 8h$	[Sloboda, Zatko96]
longueur	convexe	$\int$ normales	(non connu)	[Coeurjolly02]

## Quantités géométriques **locales**? (tangentes $\theta$ , courbures $\kappa$ )

- lien avec *croissance* segments discrets avec  $h \rightarrow 0$  [Coeurjolly02]
- tangente symétrique  $\hat{\theta}^{ST}$  convergente vers tangente  $\theta$   
... si segments discrets grandissent partout
- courbure par cercle circonscrit  $\hat{\kappa}^{CC}$  convergente vers courbure  $\kappa$   
... si segments discrets grandissent en  $O(\frac{1}{\sqrt{h}})$

# Résultats connus de convergence multigrille

Quantité	Forme de $\mathbb{R}^2$	technique	B. sup erreur	Ref
aire	C3-convexes	comptage	$O(h^{\frac{15}{11}+\epsilon})$	[Huxley90]
moments	C3-convexes	comptage	$O(h^{\frac{15}{11}+\epsilon})$	[Klette, Žunić00]
longueur	poly. conv.	polygonalisation	$\approx 4.5h$	[Kovalevsky, Fuchs92]
longueur	poly. conv.	“saucissonnage”	$\approx 5.844h$	[Klette et. al. 98]
longueur	C3-convexes	“Grid continuum”	$\approx 8h$	[Sloboda, Zatko96]
longueur	convexe	$\int$ normales	(non connu)	[Coeurjolly02]

## Quantités géométriques **locales**? (tangentes $\theta$ , courbures $\kappa$ )

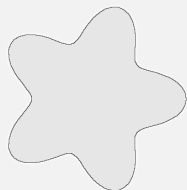
- lien avec *croissance* segments discrets avec  $h \rightarrow 0$  [Coeurjolly02]
- tangente symétrique  $\hat{\theta}^{ST}$  convergente vers tangente  $\theta$   
 ... si segments discrets grandissent partout faux
- courbure par cercle circonscrit  $\hat{\kappa}^{CC}$  convergente vers courbure  $\kappa$   
 ... si segments discrets grandissent en  $O(\frac{1}{\sqrt{h}})$  faux

# Croissance asymptotique des segments discrets

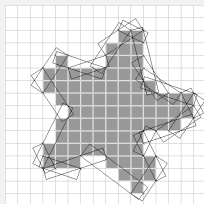
Méthodologie de preuve

Théorèmes de convergence d'estimateurs discrets

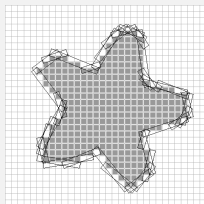
Preuves basées sur croissance asymptotique des segments de droites discrètes sur bord des discrétisés : **segments maximaux**



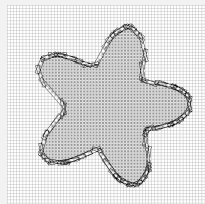
$X$



$\text{Dig}_G(X, 2)$



$\text{Dig}_G(X, 1)$



$\text{Dig}_G(X, 0, 5)$



# Croissance asymptotique des segments discrets

Méthodologie de preuve

Théorèmes de convergence d'estimateurs discrets

Preuves basées sur croissance asymptotique des segments de droites discrètes sur bord des discrétisés : **segments maximaux**

Bornes asymptotiques en nombre et longueur des segments maximaux

- outils

- (DSS) segments de droites discrètes

- approches arithmétique et combinatoire

- (MS) segments maximaux sur un contour discret

- (CDP) polygones convexes discrets

- propriétés des MS sur CDP

- propriétés asymptotiques CDP  $\Rightarrow$  propriétés asymptotiques MS

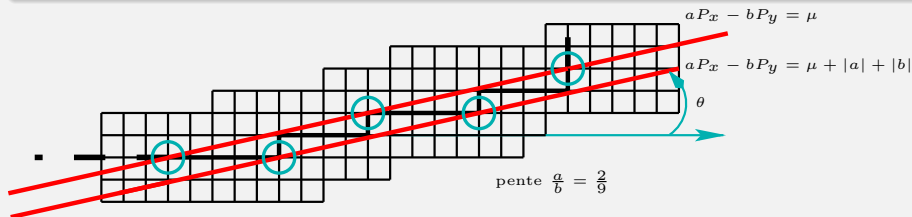
# Segments de droites discrètes (DSS)

Approche arithmétique [Reveillès 91]

## Definition

Un ensemble fini  $C$  de points 4-connexes sur la grille discrète  $\mathbb{Z}^2$  est un segment de droite discrète (DSS) ssi  $\exists(a, b, \mu)$  tels que

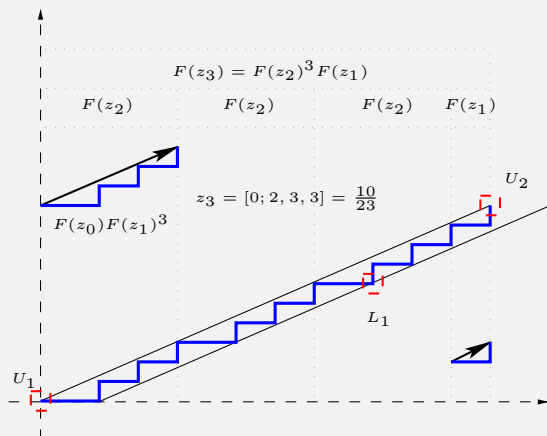
$$\forall P \in C \quad \mu \leq aP_x - bP_y < \mu + |a| + |b|$$



- 1 extraction DSS avec algorithmes optimaux (e.g. [Debled Reveillès 95])
- 2 tangentes discrètes sont des DSS particuliers

# Segments de droites discrètes (DSS)

Approche combinatoire [Berstel 97]



$F(z_0) = 0$  (0),  $F(z_1) = 0^{u_1} 1$  (001),  $F(z_2) = F(z_0)F(z_1)^{u_2}$  (0001001001), ...  
 $n$  est la **profondeur** du motif  $z$ .

- **motif** de pente  $z = \frac{p}{q}$   
= chemin  $U_1 U_2$ , codé sur  $\{0 = \text{pas } x, 1 = \text{pas } y\}$

- fractions continues

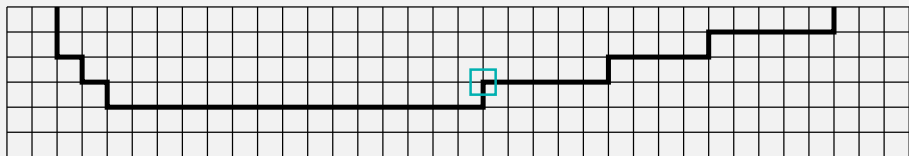
$$z = 0 + \frac{1}{u_1 + \frac{1}{\dots + \frac{1}{u_n}}}$$
$$= [0; u_1, \dots, u_n]$$

- construction récursive

# Segments maximaux (MS)

## Definition

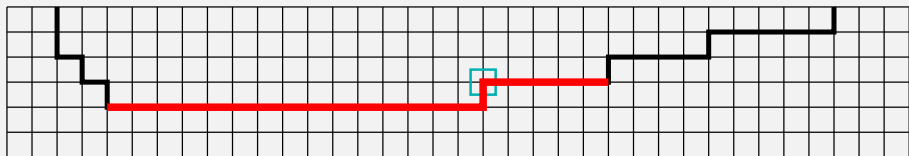
**segment maximal** sur courbe discrète = DSS qui ne peut pas être étendu à gauche ou à droite et rester encore un DSS.



# Segments maximaux (MS)

## Definition

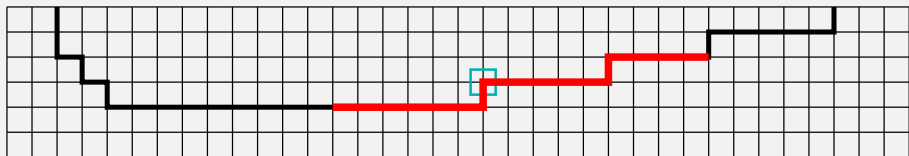
**segment maximal** sur courbe discrète = DSS qui ne peut pas être étendu à gauche ou à droite et rester encore un DSS.



# Segments maximaux (MS)

## Definition

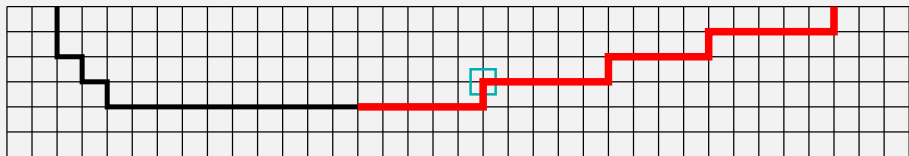
**segment maximal** sur courbe discrète = DSS qui ne peut pas être étendu à gauche ou à droite et rester encore un DSS.



# Segments maximaux (MS)

## Definition

**segment maximal** sur courbe discrète = DSS qui ne peut pas être étendu à gauche ou à droite et rester encore un DSS.

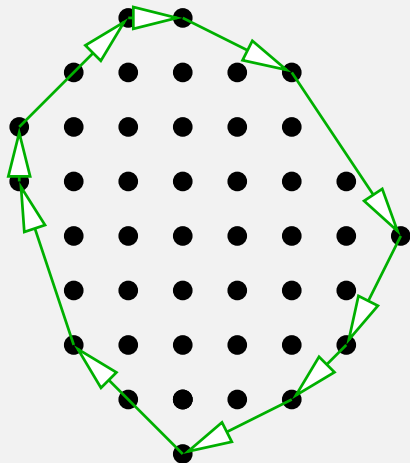


# Polygones convexes discrets (CDP)

## Definition (*polygone convexe discret* (CDP) $\Gamma$ )

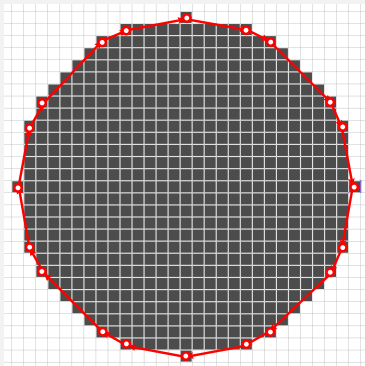
sous-ensemble 4-connexe de  $\mathbb{Z}^2$  égal à la discrétisation de son enveloppe convexe.

- $n_e(\Gamma) =$  nb de sommets de  $\Gamma$
- $\text{Per}(\Gamma) =$  périmètre de  $\Gamma$

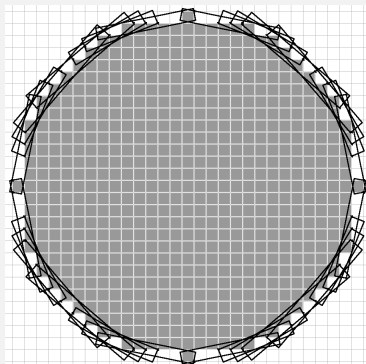




# Segments maximaux sur bord d'un CDP

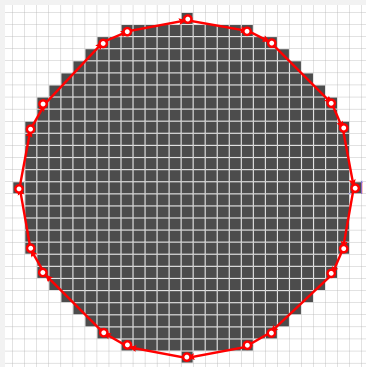


sommets  $\circ$ , arêtes

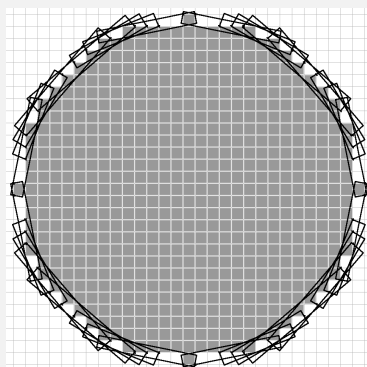


segments maximaux

# Segments maximaux sur bord d'un CDP



sommets  $\circ$ , arêtes

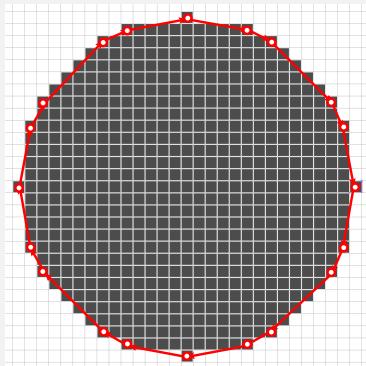


segments maximaux

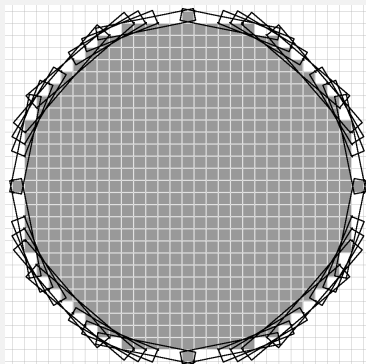
Theorem ([Debled-Rennesson Reiter-Doerksen 04])

*Un ensemble 4-connexe de  $\mathbb{Z}^2$  est un CDP ssi les directions des segments maximaux successifs sont monotones.*

# Segments maximaux sur bord d'un CDP



sommets  $\circ$ , arêtes

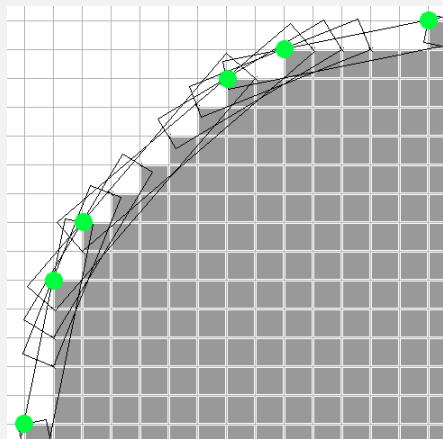


segments maximaux

Theorem ([Feschet 05])

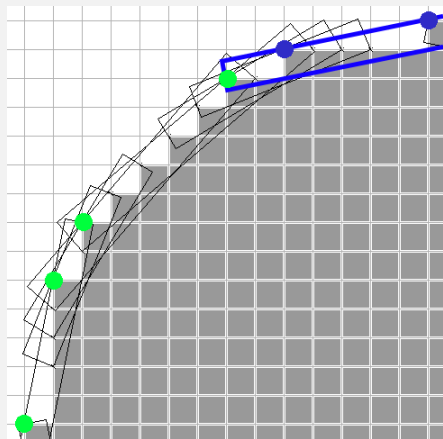
*On peut construire des courbes discrètes où autant de segments maximaux que l'on souhaite traversent un même point.*

# Liens entre arêtes du CDP et segments maximaux



- **convexité**  $\Rightarrow$  2 classes de MS
- Segments maximaux “arête”
- Segments maximaux “sommet”

# Liens entre arêtes du CDP et segments maximaux



- **convexité**  $\Rightarrow$  2 classes de MS
- Segments maximaux “**arête**”  
pente  $z_n =$  pente arête  
1 MS “**arête**” par arête

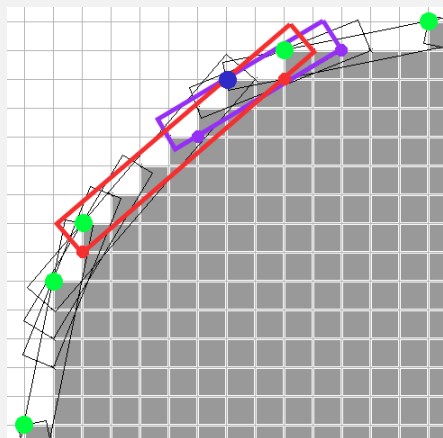
Lemma (basé **motifs**)

*MS contient  $\leq 2n + 1$  arêtes*

Ex : pente  $z_n = \frac{1}{5} \Rightarrow 3$  arêtes

- Segments maximaux “**sommet**”

# Liens entre arêtes du CDP et segments maximaux



- **convexité**  $\Rightarrow$  2 classes de MS
- Segments maximaux “**arête**”
- Segments maximaux “**sommet**”

## Lemma (basé **motifs**)

Max. 2 MS “**sommet**” par sommet  
1 prof. pair + 1 prof. impair

$$\text{gauche } \frac{7}{8} = [0; 1, 7], \text{ droite } \frac{3}{5} = [0; 1, 1, 2]$$

## Lemma (basé **motifs**)

MS contient  $\leq 2n$  arêtes

# Nombre de segments maximaux sur CDP

## Theorem (Nombre segments maximaux et nombre d'arêtes)

Si  $\Gamma$  CDP inclus dans grille  $m \times m$  alors

$$\frac{n_e(\Gamma)}{\Theta(\log m)} \leq n_{MS}(\partial\Gamma) \leq 3n_e(\Gamma)$$

## Démonstration.

- Lemmes précédents +
  - plus court DSS de profondeur  $n : [0; 2, 2, \dots]$
- $\Rightarrow$  profondeur max. d'un DSS dans  $\subset m \times m$



# longueurs des segments maximaux sur un CDP

Theorem (somme des longueurs des MS sur CDP)

Sur le bord d'un CDP  $\Gamma$  de segments maximaux  $(MS_i)_i$

$$\text{Per}(\Gamma) \leq \sum_i L_D(MS_i) \leq 19\text{Per}(\Gamma)$$

Theorem (longueur moyenne des MS sur CDP)

Si  $\Gamma$  CDP inclus dans grille  $m \times m$  alors

$$\frac{1}{3} \frac{\text{Per}(\Gamma)}{n_e(\Gamma)} \leq \frac{\sum_i L_D(MS_i)}{n_{MS}(\partial\Gamma)} \leq 19 \frac{\text{Per}(\Gamma)}{n_e(\Gamma)} \Theta(\log m)$$



# longueurs des segments maximaux sur un CDP

Theorem (somme des longueurs des MS sur CDP)

Sur le bord d'un CDP  $\Gamma$  de segments maximaux  $(MS_i)_i$

$$\text{Per}(\Gamma) \leq \sum_i L_D(MS_i) \leq 19\text{Per}(\Gamma)$$

Theorem (longueur moyenne des MS sur CDP)

Si  $\Gamma$  CDP inclus dans grille  $m \times m$  alors

$$\frac{1}{3} \frac{\text{Per}(\Gamma)}{n_e(\Gamma)} \leq \frac{\sum_i L_D(MS_i)}{n_{MS}(\partial\Gamma)} \leq 19 \frac{\text{Per}(\Gamma)}{n_e(\Gamma)} \Theta(\log m)$$

# asymptotique CDP $\Rightarrow$ asymptotique MS

## Theorem (Balog Bárány 91)

Soit  $S \in \mathcal{C}^3$  – convexe. Le nombre d'arêtes de sa discrétisation suit

$$c_1(S) \frac{1}{h^{\frac{2}{3}}} \leq n_e(\text{Dig}_G(S, h)) \leq c_2(S) \frac{1}{h^{\frac{2}{3}}}$$

## Theorem (Asymptotique nombre et long. des segments maximaux)

Soit  $S \in \mathcal{C}^3$  – convexe. Si  $S_h$  est le CDP  $\text{Dig}_G(S, h)$ .

$$(\text{nombre}) \quad \Theta\left(\frac{1}{h^{\frac{2}{3}} \log \frac{1}{h}}\right) \leq n_{MS}(\partial S_h) \leq \Theta\left(\frac{1}{h^{\frac{2}{3}}}\right)$$

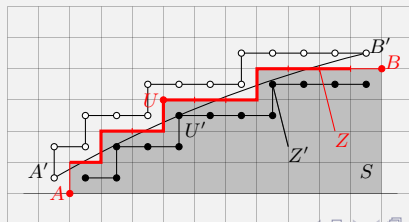
$$(\text{long. dis.}) \quad \Theta\left(\frac{1}{h^{\frac{1}{3}}}\right) \leq L_D \text{ moyenne MS sur } \partial S_h \leq \Theta\left(\frac{1}{h^{\frac{1}{3}}} \log \frac{1}{h}\right)$$

## Résumé asymptotique segments maximaux

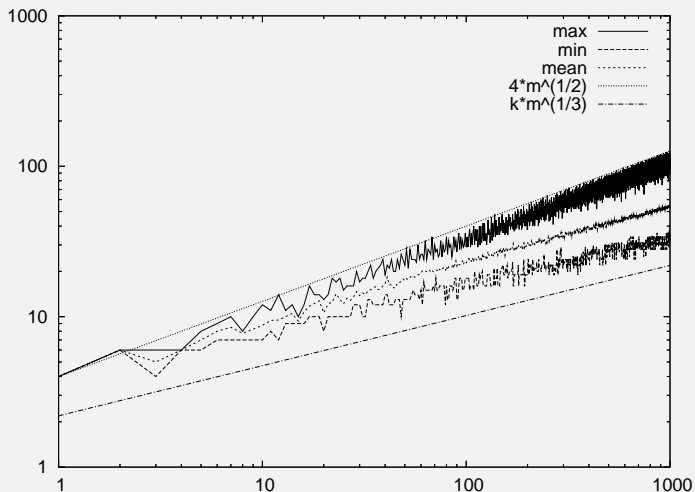
Sur les discrétisées de formes  $C^3$ -convexes ( $\kappa > 0$ ).

	plus court	moyenne	plus long
$L_D(MS)$	$\Omega\left(\frac{1}{h^{\frac{2}{3}}}\right)$	$\Theta\left(\frac{1}{h^{\frac{2}{3}}}\right) \leq \cdot \leq \Theta\left(\frac{1}{h^{\frac{2}{3}}} \log \frac{1}{h}\right)$	$\mathcal{O}\left(\frac{1}{h^{\frac{1}{2}}}\right)$
$L(MS)$	$\Omega\left(h^{\frac{2}{3}}\right)$	$\Theta\left(h^{\frac{2}{3}}\right) \leq \cdot \leq \Theta\left(h^{\frac{2}{3}} \log \frac{1}{h}\right)$	$\mathcal{O}\left(h^{\frac{1}{2}}\right)$

- plus long MS =  $\mathcal{O}\left(\frac{1}{h^{\frac{1}{2}}}\right)$  (géométrie)
- plus court MS =  $\Omega\left(\frac{1}{h^{\frac{1}{3}}}\right)$  (cercles séparants)

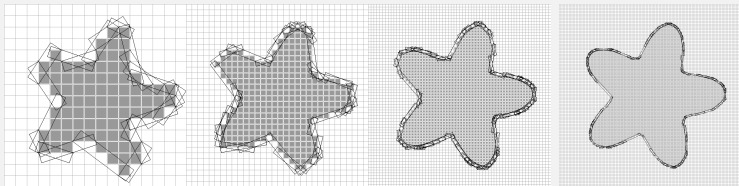


# Vérification expérimentale



# Estimateurs géométriques

(tangente) estimateurs basés MS sont **multigrille convergents**



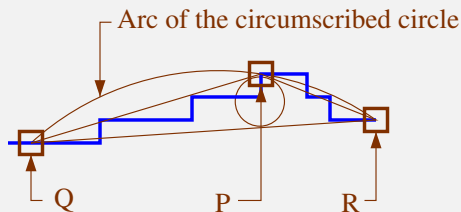
- long. discrète du + petit MS grandit en  $1/h^{1/3}$
  - long. euclidienne  $\geq h^{2/3}$  et épaisseur en  $h$
  - bord de  $S$  enfermé dans un tube + Taylor
- $\Rightarrow$  **convergence uniforme** en  $h^{1/3}$

(courbure) estimateur par cercle circonscrit aux demi-tangentes

# Estimateurs géométriques

(tangente) estimateurs basés MS sont **multigrille convergents**

(courbure) estimateur par cercle circonscrit aux demi-tangentes



- convergent si demi-tangentes grandissent en  $1/h^{\frac{1}{2}}$  [Coe02]
- **non** car demi-tangentes  $\subset$  MS
- expérimentalement non convergent

# Discussion

- propriétés asymptotiques des parties linéaires des bords discrétisés
- convergence multigrille d'estimateurs géométriques discrets

Quantité	estimateur	Unif. convergent	Conv. moyenne
position	$\hat{\chi}^{\text{conv}}$	$\mathcal{O}(h)$	$\mathcal{O}(h^{\frac{4}{3}})$
tangente	tan. sym.	non	?
tangente	$\hat{\theta}^{\text{conv}}$	?	$\mathcal{O}(h^{\frac{2}{3}})$
tangente	$\hat{\theta}^{\text{MS}}$	$\mathcal{O}(h^{\frac{1}{3}})$	$\mathcal{O}(h^{\frac{2}{3}})$
courbure	Cercle circ.	non	exp. non
courbure	Variation tang. sym.	non	non

Quantité	estimateur	B. sup erreur
longueur	$\int \hat{\theta}^{\text{MS}}$	$\mathcal{O}(h^{\frac{1}{3}})$
intégrale	mesure discrète	$\mathcal{O}(h^{\frac{1}{3}})$

thèse de François de Vieilleville, collaboration avec Fabien Feschet (LAIC)

[J. Mathematical Image Vision 06]

[SCIA05,DGCI06,ISVC06],[HdR06]

# Conclusion

Comment diminuer la complexité des modèles déformables ?

Modèle déformable en géométrie riemannienne

- moins de variables, moins d'itérations
- nb de variables fonction de la géométrie image

Analogie combinatoire des modèles déformables ?

Modèle déformable discret asymptotiquement euclidien

$$E(O) = \sum_{\sigma \in \partial O} (\alpha + \beta \hat{\kappa}^2(\sigma) + P(I, \sigma)) \hat{l}(\sigma)$$

- Oui pour  $\alpha$  quelconque, potentiel  $P$  quelconque, mais  $\beta = 0$
- $\forall$  estimateur tangente  $\hat{\theta}$  basé segments maximaux,  $\hat{l} = |\cos(\hat{\theta})|$

## Nouveaux résultats

- représentation, topologie, géométrie des surfaces discrètes
- estimateurs géométriques, convergence multigrille
- géométrie discrète asymptotique



# Conclusion

Comment diminuer la complexité des modèles déformables ?

Modèle déformable en géométrie riemannienne

- moins de variables, moins d'itérations
- nb de variables fonction de la géométrie image

Analogie combinatoire des modèles déformables ?

Modèle déformable discret asymptotiquement euclidien

$$E(O) = \sum_{\sigma \in \partial O} (\alpha + \beta \hat{\kappa}^2(\sigma) + P(I, \sigma)) \hat{l}(\sigma)$$

- **Oui** pour  $\alpha$  quelconque, potentiel  $P$  quelconque, mais  $\beta = 0$
- $\forall$  estimateur tangente  $\hat{\theta}$  basé segments maximaux,  $\hat{l} = |\cos(\hat{\theta})|$

## Nouveaux résultats

- représentation, topologie, géométrie des surfaces discrètes
- estimateurs géométriques, convergence multigrille
- géométrie discrète asymptotique

# Conclusion

Comment diminuer la complexité des modèles déformables ?

Modèle déformable en géométrie riemannienne

- moins de variables, moins d'itérations
- nb de variables fonction de la géométrie image

Analogie combinatoire des modèles déformables ?

Modèle déformable discret asymptotiquement euclidien

$$E(O) = \sum_{\sigma \in \partial O} (\alpha + \beta \hat{\kappa}^2(\sigma) + P(I, \sigma)) \hat{l}(\sigma)$$

- **Oui** pour  $\alpha$  quelconque, potentiel  $P$  quelconque, mais  $\beta = 0$
- $\forall$  estimateur tangente  $\hat{\theta}$  basé segments maximaux,  $\hat{l} = |\cos(\hat{\theta})|$

## Nouveaux résultats

- représentation, topologie, géométrie des surfaces discrètes
- estimateurs géométriques, convergence multigrille
- géométrie discrète asymptotique

## Modèles déformables

- partitions déformables : algorithmes d'optimisation (pyramides, stochastiques, graph-cuts)  
thèse de Martin Braure de Calignon, collaboration avec Luc Brun  
[\[ISVC06\]](#)
- projet ANR FoGRIMMI : modèles déformables discrets pour analyse de très grandes images.

## Géométrie discrète

- estimateurs géométriques : courbure convergente ?, estimateurs de tangente de meilleure vitesse de convergence
- projet ANR GeoDIB : Géométrie des objets discrets bruités  
étude des segments maximaux *épais*